

Nombre del Producto: Anticuerpo policlonal de conejo c-Myc**Nº de Catálogo: APRab09096**

Solo para uso en investigación.

Resumen

Descripción	Anticuerpo policlonal de conejo
Huésped	Conejo
Aplicación	WB,IHC,ICC/IF,ELISA
Reactividad	Humano, Ratón, Rata
Conjugación	No conjugado
Modificación	Sin modificar
Isotipo	IgG
Clonalidad	Policlonal
Formato	Líquido
Concentración	1 mg/ml
Almacenamiento	Hacer alícuotas y almacenar a -20°C (válido por 12 meses). Evitar ciclos de congelación/descongelación.
Envío	Bolsas de hielo
Tampon	Líquido en PBS que contiene 50% de glicerol, 0,5% de proteína protectora y 0,02% de conservante de nuevo tipo N.
Purificación	Purificación por afinidad

Aplicación

Relación de Dilución	WB 1:500-1:2000,IHC 1:100-1:300,ICC/IF 1:200-1:1000,ELISA 1:20000-1:40000
Peso Molecular	50,(also ~60kDa in some samples)

Información del Antígeno

Nombre del Gen	MYC
Nombres Alternativos	MYC; BHLHE39; Myc proto-oncogene protein; Class E basic helix-loop-helix protein 39; bHLHe39; Proto-oncogene c-Myc; Transcription factor p64
ID del Gen	4609.0
ID SwissProt	P01106
Inmunógeno	El antisuero se produjo contra el péptido sintetizado derivado del MYC humano. Rango de AA: 386-435.

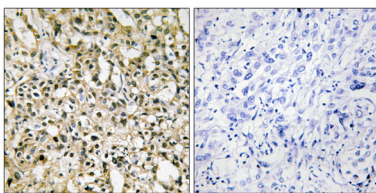
Antecedentes

La proteína codificada por este gen es una fosfoproteína nuclear multifuncional que participa en la progresión del ciclo celular, la apoptosis y la transformación celular. Actúa como factor de transcripción que regula la transcripción de genes diana específicos. Las mutaciones, la sobreexpresión, la reorganización y la translocación de este gen se han asociado con diversos tumores hematopoyéticos, leucemias y linfomas, incluido el linfoma de Burkitt. Existe evidencia que demuestra que las iniciaciones de traducción alternativas desde un sitio de inicio no AUG (CUG) en fase ascendente y un sitio de inicio AUG descendente resultan en la producción de dos isoformas con extremos N-terminales distintos. La síntesis de la proteína iniciada por no AUG se suprime en los linfomas de Burkitt, lo que sugiere su importancia para el funcionamiento normal de este gen. [proporcionado por RefSeq, jul. de 2008], enfermedad: Una aberración cromosómica que afecta a MYC puede ser la causa de una forma de leucemia linfocítica crónica de células B. Translocación t(8;12)(q24;q22) con BTG1. Enfermedad: La sobreexpresión de MYC está implicada en la etiología de diversos tumores hematopoyéticos. Función: Participa en la regulación de la transcripción génica. Se une al ADN tanto de forma inespecífica como específica, reconociendo la secuencia central 5'-CAC[GA]TG-3'. Parece activar la transcripción de genes relacionados con el crecimiento. Información en línea: Entrada de Myc. PTM: Fosforilado por PRKDC. Similitud: Contiene un dominio básico de hélice-bucle-hélice (bHLH). Subunidad: Una unión eficiente al ADN requiere la dimerización con otra proteína bHLH. Se une al ADN como heterodímero con MAX. Interactúa con TAF1C y SPAG9. Interactúa con PARP10. Interactúa con KDM5A y KDM5B.

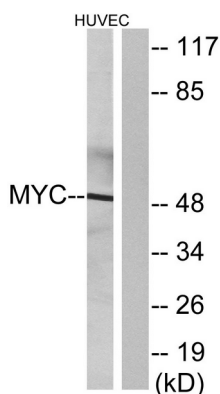
Área de Investigación

Vía de células madre; Ciclo celular G1S; Ciclo celular G2M ADN; WNT; CÉLULA WNT-T; β -catenina; ErbB/HER; MAPK_ERK_Crecimiento; MAPK_G_Proteína; PI3K/Akt; Acetilación de proteínas

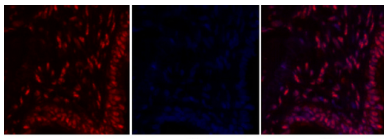
Datos de Imagen



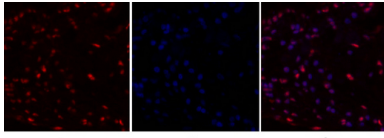
Análisis inmunohistoquímico de tejido de carcinoma hepático humano incluido en parafina, utilizando el anticuerpo MYC. La imagen de la derecha está bloqueada con el péptido sintetizado.



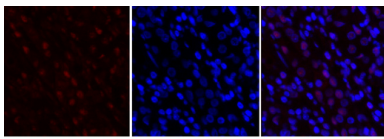
Análisis de inmunotransferencia de lisados de células HUVEC con anticuerpo MYC. El carril derecho está bloqueado con el péptido sintetizado.



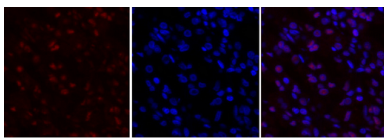
Análisis de inmunofluorescencia de tejido pulmonar humano. 1. El anticuerpo policlonal c-Myc (rojo) se diluyó a 1:200 (4 °C, durante la noche). 2. El anticuerpo secundario marcado con Cy3 se diluyó a 1:300 (temperatura ambiente, 50 min). 3. Imagen B: DAPI (azul) 10 min. Imagen A: Objetivo. Imagen B: DAPI. Imagen C: Combinación de A+B.



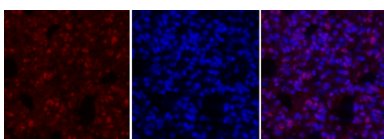
Análisis de inmunofluorescencia de tejido pulmonar humano. 1. El anticuerpo policlonal c-Myc (rojo) se diluyó a 1:200 (4 °C, durante la noche). 2. El anticuerpo secundario marcado con Cy3 se diluyó a 1:300 (temperatura ambiente, 50 min). 3. Imagen B: DAPI (azul) 10 min. Imagen A: Objetivo. Imagen B: DAPI. Imagen C: Combinación de A+B.



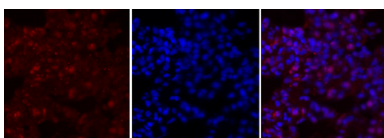
Análisis de inmunofluorescencia de tejido estomacal humano. 1. El anticuerpo policlonal c-Myc (rojo) se diluyó a 1:200 (4 °C, durante la noche). 2. El anticuerpo secundario marcado con Cy3 se diluyó a 1:300 (temperatura ambiente, 50 min). 3. Imagen B: DAPI (azul) 10 min. Imagen A: Objetivo. Imagen B: DAPI. Imagen C: Combinación de A+B.



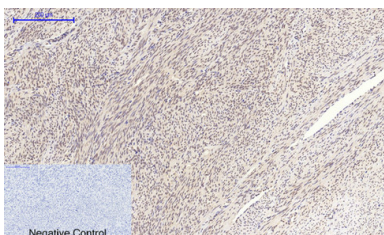
Análisis de inmunofluorescencia de tejido estomacal humano. 1. El anticuerpo policlonal c-Myc (rojo) se diluyó a 1:200 (4 °C, durante la noche). 2. El anticuerpo secundario marcado con Cy3 se diluyó a 1:300 (temperatura ambiente, 50 min). 3. Imagen B: DAPI (azul) 10 min. Imagen A: Objetivo. Imagen B: DAPI. Imagen C: Combinación de A+B.



Análisis de inmunofluorescencia de tejido pulmonar de rata. 1. El anticuerpo policlonal c-Myc (rojo) se diluyó a 1:200 (4 °C, durante la noche). 2. El anticuerpo secundario marcado con Cy3 se diluyó a 1:300 (temperatura ambiente, 50 min). 3. Imagen B: DAPI (azul) 10 min. Imagen A: Objetivo. Imagen B: DAPI. Imagen C: Combinación de A+B.



Análisis de inmunofluorescencia de tejido pulmonar de rata. 1. El anticuerpo policlonal c-Myc (rojo) se diluyó a 1:200 (4 °C, durante la noche). 2. El anticuerpo secundario marcado con Cy3 se diluyó a 1:300 (temperatura ambiente, 50 min). 3. Imagen B: DAPI (azul) 10 min. Imagen A: Objetivo. Imagen B: DAPI. Imagen C: Combinación de A+B.



Análisis inmunohistoquímico de tejido uterino humano incluido en parafina. 1. El anticuerpo policlonal c-Myc se diluyó a 1:200 (4 °C, durante la noche). 2. Se utilizó citrato de sodio a pH 6,0 para la recuperación de anticuerpos (>98 °C, 20 min). 3. El anticuerpo secundario se diluyó a 1:200 (temperatura ambiente, 30 min). El control negativo se utilizó solo con el anticuerpo secundario.